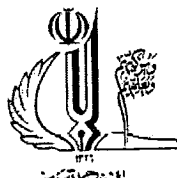


بِسْمِ اللَّهِ الرَّحْمَنِ الرَّحِيمِ

١٤٥٢١-٢.١٨٨٨



دانشگاه شهرورد

دانشکده کشاورزی

گروه ماشینهای کشاورزی

رساله برای دریافت درجه دکتری تخصصی مهندسی مکانیزاسیون کشاورزی

عنوان

مدل سازی و شبیه سازی صدمات مکانیکی ناشی از نقل و انتقال مکانیزه برای پیش بینی
کوفتگی سیب با استفاده از روش المان گستته و اعتبار سنجی تجربی مدل

استادان راهنما

دکتر مرتضی صادقی

دکتر حمید رضا قاسم زاده

استادان مشاور

دکتر محمد تقی شروانی تبار

دکتر محمد حسین عباسپور فرد

دکتر ارژنگ جوادی

پژوهشگر

سعید طریف نشاط

۱۳۸۹/۷/۳

تیرماه ۱۳۸۹

املاک مملکه ایران
جمهوری اسلامی ایران

۱۴۲۰۲۱

لعدیم به

پ درو مادر عزیزم

هم سرفد آکار و مهر بانم

و فرزند دوست داشتنی ام

سپاسگزاری

حال که با عنایت و الطاف خداوند متعال با ارائه تحقیق حاضر دوره تحصیلی ام به پایان رسید، شایسته است که از زحمات و تلاش‌های ارزشمند جناب آقای دکتر حمیدرضا قاسم‌زاده استاد فرزانه و دانشمند گروه مهندسی ماشینهای کشاورزی که در مدت ۱۹ سال تلمذ از محضر ایشان، همواره راهگشا و روشنگر اینجانب بوده‌اند و همچنین جناب آقای دکتر مرتضی صادقی دانشیار محترم گروه مهندسی مکانیک بخاطر راهنمایی و مساعدت‌های ارزنده‌شان در طول اجرای این تحقیق صمیمانه تشکر و سپاسگزاری نمایم.

از اساتید محترم مشاور پایان‌نامه جناب آقایان دکتر ارژنگ جوادی، دکتر محمدحسین عباسپورفرد و دکتر محمدتقی شروانی تبار که با ارائه نظرات و پیشنهادات اندیشمندانه موجب پریارتر شدن این تحقیق گردیدند قدردانی می‌نمایم.

از جناب آقایان دکتر میر محمد اتفاق، دکتر ابراهیم احمدی و مهندس علی توفیقی که در طول اجرای پایان‌نامه مخصوصاً در مرحله مدل‌سازی با استفاده از روش المان گستاخ با صبر و حوصله فراوان همکاری بسیار صمیمانه‌ای داشتند کمال تشکر را دارم.

از اساتید محترم گروه مهندسی ماشینهای کشاورزی دانشگاه تبریز که اندوخته‌های بسیار از آنان به یادگار دارم تشکر می‌کنم.

از ریاست محترم موسسه تحقیقات فنی و مهندسی کشاورزی و همچنین ریاست محترم مرکز تحقیقات کشاورزی و منابع طبیعی خراسان رضوی و ریاست و همکاران عزیز بخش تحقیقات فنی و مهندسی کشاورزی بخاطر همکاری‌های ارزنده‌شان سپاسگزاری می‌نمایم.

از کلیه دوستانی که از ذکر نام یکایک آنان معذورم و صمیمانه و خالصانه مرا می‌همان و خوش‌چین لطف و معلوماتشان نمودند قدردانی می‌کنم.

در پایان قدردان همسر و فرزند عزیزم که در کلیه مراحل تحصیل و به ویژه اجرای این تحقیق با برداری همراه بودند می‌باشم.

نام خانوادگی دانشجو: ظریف نشاط

نام: سعید

عنوان رساله: مدل‌سازی و شبیه سازی صدمات مکانیکی ناشی از نقل و انتقال مکانیزه برای پیش‌بینی کوفتگی سیب با استفاده از روش المان گسته و اعتبار سنجی تجربی مدل

اساتید راهنمای: دکتر حمیدرضا قاسم‌زاده و دکتر مرتضی صادقی

اساتید مشاور: دکتر ارزنگ جوادی، دکتر محمد حسین عباسپور فرد و دکتر محمد تقی شروانی تبار

مقطع تحصیلی: دکتری رشته: مهندسی ماشین‌های کشاورزی گرایش: مهندسی مکانیزاسیون دانشگاه: تبریز

دانشکده: کشاورزی تاریخ فارغ‌التحصیلی: تیر ماه ۱۳۸۹ تعداد صفحه: ۱۱۳

واژه‌های کلیدی: اعتبار سنجی، کوفتگی، مدل سازی، میوه سیب، نیروی برخورد

چکیده:

صدمه کوفتگی ناشی از ضربه جزو انواع اصلی صدمات مکانیکی پس از برداشت میوه می‌باشد. از جمله روش‌های تعیین میزان کوفتگی در میوه‌ها، استفاده از مدل سازی و شبیه سازی می‌باشد. روش المان گسته (Discrete Element Method) یا DEM یک روش عددی است که رفتار دینامیکی ذرات را در برخورد با یکدیگر مورد بررسی قرار می‌دهد. در توصیف یک برخورد داشتن مدل نیروی برخورد بین ذرات، ضروری است. مدل‌های نیروی برخورد کلید اصلی شبیه سازی به روش المان گسته می‌باشند. در این پژوهش پارامترهای مدل نیروی برخورد نرمال (سفتی و مستهلك کننده) بر پایه مدل برخورد ویسکوالاستیک کوابارا و کونو محاسبه و اعتبارسنجی شد. اثرات عواملی مانند سرعت ضربه، شعاع انحنا و سفتی آکوستیک بر روی متغیرهای ذکر شده ارزیابی گردید. در بحث نیروی مماسی، ضریب اصطکاک استاتیکی برای دو حالت میوه با میوه و میوه با چوب اندازه‌گیری شد. در مرحله بعد، مدل‌های پیش‌بینی کوفتگی تعیین شدند. در این مدل‌ها، انرژی برخورد یا پیشینه نیروی برخورد به عنوان متغیرهای مستقل و حجم کوفتگی به عنوان متغیر وابسته در نظر گرفته شد. علاوه بر این، خصوصیات میوه شامل سفتی، دما و شعاع انحناء نیز به عنوان متغیرهای مستقل در نظر گرفته شدند. برای شبیه سازی ارتعاش میوه‌ها برنامه‌ای در نرم افزار MATLAB نوشته شد و شرایط اولیه و سایر پارامترهای شبیه سازی در برنامه لحاظ گردید. مرحله بعد، کوفتگی میوه سیب بوسیله لرزاننده و در سطوح شتاب و فرکانس مختلف اندازه‌گیری شد. سرانجام اعتبار مدل‌های کوفتگی از طریق برآورد حجم کوفتگی به وسیله شبیه سازی ارتعاش ناشی از حمل و نقل برای هر ذره، با در نظر گرفتن شرایط یکسان برای ذرات (تعداد ذره، دامنه و فرکانس ارتعاش، شعاع ذرات، ابعاد جمعیه، سرعت اولیه ذرات و پارامترهای نیروی برخورد)، و مقایسه آن با کوفتگی واقعی حاصل از لرزاننده که در آزمایشگاه اندازه‌گیری شد، تعیین گردید. به طور کلی نتیجه گرفته شد که روش شبیه سازی DEM می‌تواند رفتار میوه را در بررسی صدمات مکانیکی آن مورد مطالعه قرار دهد.

فهرست مطالب

صفحه

عنوان

فصل اول بررسی منابع

۱	-۱-۱- مقدمه
۳	-۱-۲- مکانیک ضربه (برخورد)
۴	-۱-۳- ضریب برجهندگی
۵	-۱-۴- مدل‌های نیروی برخورد
۶	-۱-۴-۱- مدل‌های نیروی برخورد نرم‌مال
۷	-۱-۴-۱-۱- مدل نیروی برخورد الاستیک
۷	-۱-۴-۱-۲- مدل نیروی برخورد ویسکوالاستیک (F_e, F_v)
۱۱	-۱-۴-۱-۳- مدل نیروی برخورد الاستیک- پلاستیک ($F_e; F_p$)
۱۳	-۱-۴-۱-۴- ارتباط بین پارامترهای مدل کوابارا و کونو و خصوصیات ماده
۱۳	-۱-۴-۱-۴-۱- ارتباط بین پارامتر سفتی و خصوصیات ماده
۱۴	-۱-۴-۱-۴-۲- ارتباط بین پارامتر مستهلك کننده و خصوصیات ماده
۱۵	-۱-۴-۱-۵- انتخاب مدل نیروی برخورد نرم‌مال برای مدل سازی مواد ویسکوالاستیک (میوه‌ها)
۱۷	-۱-۴-۲- مدل‌های نیروی برخورد مماسی
۲۱	-۱-۵-۱- اندازه‌گیری تنش‌های دینامیکی
۲۲	-۱-۵-۱-۱- کره تجهیز شده (میوه الکترونیکی)
۲۲	-۱-۵-۱-۲- غشاء‌های لمسی
۲۳	-۱-۶-۱- آنالیز انرژی صدمه ناشی از ضربه
۲۴	-۱-۶-۱-۱- تحقیقات در مورد اثر ارتفاع سقوط روی صدمه کوفتگی برای واریته‌های مختلف مخصوصاً در ارتباط با صفحات سخت:
۲۴	-۱-۶-۲- تحقیقات روی اثر فاکتورهای پس از برداشت (دما، رسیدگی، پتانسیل آب، زمان انبار مانی وغیره):
۲۵	-۱-۶-۳- تحقیقات روی تاثیر مواد بسته‌بندی در کاهش کوفتگی و برخورد سیب به سیب:
۲۶	-۱-۷-۱- مدل‌های آماری و روش‌های ارزیابی کوفتگی
۳۲	-۱-۸-۱- اثر ارتعاشات و شوک‌ها روی صدمه کوفتگی سیب

۹-۱- شبیه سازی ذرات با استفاده از روش المان گستته (DEM)	۳۴
۱۰-۱- جمع بندی	۴۶

فصل دوم مواد و روشها

۱-۱- تعیین خصوصیات میوه	۴۷
۲-۱-۱- اندازه گیری شعاع انحنای میوه	۴۷
۲-۱-۲- اندازه گیری سفتی آکوستیک	۴۸
۲-۲-۱- مدل سازی نیروی برخورد نرمال	۵۰
۲-۲-۲- انتخاب مدل نیروی برخورد نرمال	۵۰
۲-۲-۳- ساخت پاندول و چگونگی انجام آزمایش	۵۰
۲-۲-۴- تخمین پارامترهای مدل نیروی برخورد	۵۳
۲-۲-۵- روش آزمایش	۵۵
۲-۳-۱- آنالیز آماری	۵۶
۲-۳-۲- مدل سازی نیروی برخورد مماسی	۵۷
۲-۳-۳- تعیین ضریب اصطکاک استاتیکی میوه	۵۷
۲-۴-۱- تعیین مدل های آماری پیش بینی کوفتگی	۵۷
۲-۴-۲- روش اجرای آزمایش	۵۸
۲-۵-۱- شبیه سازی کامپیوتری فرآیند انتقال میوه با استفاده از روش المان گستته	۶۰
۲-۶-۱- تعیین صدمه کوفتگی واقعی در آزمایشگاه بوسیله لرزاننده	۶۴
۲-۷-۱- اعتبار سنجی مدل	۶۵

فصل سوم نتایج و بحث

۳-۱- نتایج مربوط به محاسبه پارامترهای سفتی و مستهلك کننده مدل نیروی برخورد نرمال	۶۷
۳-۱-۱- اثر سرعت ضربه بر پارامترهای مدل نیروی برخورد	۷۲
۳-۱-۲- اثر شعاع انحنای موثر بر پارامترهای مدل نیروی برخورد	۷۳
۳-۱-۳- اثر سفتی آکوستیک بر محاسبه پارامترهای مدل نیروی برخورد	۷۴
۳-۴-۱- نتیجه گیری نهایی	۷۵

۲-۳-۱-۱-۱-۳-۳	- نتایج مربوط به محاسبه ضریب اصطکاک استاتیکی مدل نیروی برخورد مماسی	75
۲-۳-۱-۱-۲-۳-۳	- نتایج مربوط به محاسبه مدل‌های پیش‌بینی کوفتگی	76
۲-۳-۱-۱-۲-۳-۳	- مدل پیش‌بینی کوفتگی با بیشینه نیروی برخورد به عنوان متغیر مستقل	76
۲-۳-۱-۱-۲-۳-۳	- اثر شعاع انحناء بر حجم کوفتگی	77
۲-۳-۱-۲-۱-۳-۳	- اثر سفتی آکوستیک بر روی حجم کوفتگی	77
۲-۳-۱-۳-۱-۳-۳	- اثر دما بر حجم کوفتگی	78
۲-۳-۲-۱-۲-۳-۳	- مدل‌های پیش‌بینی کوفتگی با انرژی ضربه به عنوان متغیر مستقل	79
۲-۳-۲-۲-۱-۲-۳-۳	- اثر شعاع انحناء بر حجم کوفتگی	80
۲-۳-۲-۲-۲-۳-۳	- اثر سفتی آکوستیک بر حجم کوفتگی	81
۲-۳-۲-۳-۱-۲-۳-۳	- اثر دمای سیب بر حجم کوفتگی	81
۲-۳-۳-۱-۲-۳-۳	- بحث در مورد مدل‌های آماری پیش‌بینی کوفتگی	81
۲-۳-۳-۱-۳-۳-۳	- اثر شعاع انحناء بر حجم کوفتگی	82
۲-۳-۳-۲-۲-۳-۳	- اثرات سفتی آکوستیک بر حجم کوفتگی	83
۲-۳-۳-۳-۱-۲-۳-۳	- اثر دمای میوه بر حجم کوفتگی	84
۴-۳-۳-۱-۲-۳-۳	- نتیجه‌گیری نهایی	85
۴-۳-۲-۱-۲-۳-۳	- نتایج مربوط به اعتبار سنجی مدل DEM	86
۵-۳-۱-۲-۳-۳-۳	- جمع بندی نهایی	94
۵-۳-۲-۱-۲-۳-۳-۳	- توصیه و پیشنهادات	96
۵-۳-۳-۱-۲-۳-۳-۳	- فهرست منابع	99

۱-۱- مقدمه

تقاضا برای محصولات با کیفیت بالا از دهه گذشته در حال افزایش بوده و هم اکنون نیز روند افزایشی دارد. یکی از جنبه‌های کیفی میوه، اثر زیان آور صدمه ناشی از ضربه می‌باشد. این جنبه تنها مربوط به ظاهر میوه نمی‌گردد بلکه ریسک آلودگی باکتریایی و فارچی محصول را بالا برده منجر به کاهش عمر قفسه‌ای می‌گردد. سایر اثرات جانبی شامل افت آب و رطوبت میوه صدمه دینده می‌باشد که این امر می‌تواند تا ۴۰۰٪ بیشتر از سیب سالم باشد. در بیشتر میوه‌ها از جمله سیب کوفتگی از مهمترین و مرسوم ترین نوع صدمات مکانیکی پس از برداشت می‌باشد. معمولاً بیماری‌های فارچی در صورت ایجاد صدمات مکانیکی ایجاد می‌گردد که از این میان می‌توان به کپک خاکستری^۱ و کپک آبی^۲ اشاره کرد. این اورگانیسم‌ها مانند بیشتر پاتوژنهای پس از برداشت نمی‌توانند بافت سالم را مبتلا کنند و معمولاً وارد بافت مرده و یا صدمه دیده می‌شوند. لذا صدمات مکانیکی می‌تواند عامل اصلی آلودگی و بیماری شود. در صورت جلوگیری از ایجاد صدمه در محصولات، برای جلوگیری از بیماری کمتر به قارچ‌کشها نیاز خواهد بود (وان زیبروک و همکاران، ۲۰۰۷a).

بین صدمات مکانیکی پیش و پس از برداشت تمایز وجود دارد. میوه‌ها هنگامیکه روی درخت هستند می‌توانند از چندین طریق صدمه بینند. در طی مرحله رشد میوه‌ها ممکن است با سایر میوه‌ها تماس داشته باشند و یا با سایر قسمت‌های درخت نظیر شاخه‌ها برخورد کنند که منجر به سائیدگی، ایجاد سوراخ و یا کوفتگی گردد. دام‌ها، حشرات، پرندگان می‌توانند پوست میوه را سوراخ کرده و قسمتی از بافت را مورد استفاده قرار دهند. آب و هوا نیز یکی از عوامل مهم ایجاد صدمه در میوه می‌باشد. باد می‌تواند باعث برخورد میوه‌ها به سایر قسمت‌ها گردد. صدمات مکانیکی پیش از برداشت بصورت انفرادی ایجاد شده و بندرت پیش می‌آید، لذا قابل کنترل نمی‌باشند. عامل اصلی صدمات میوه‌ها حمل و نقل توسط انسان می‌باشد که این در برداشت با دست بیشترین حد است. هنگامی که میوه به آسانی از درخت جدا نشود بیشتر در معرض صدمه ناشی از نیروی دست قرار می‌گیرد. این حالت هنگامی رخ می‌دهد که دو یا سه انگشت برای

¹- *Botrytis*²- *Pencillium*

کشیدن استفاده می شود لذا تولید کنندگان پیشنهاد می کنند که از تمام دست برای گرفتن و پیچاندن میوه استفاده گردد تا حرکات و نیروها به ساقه اصلی منتقل شود.

میوه پس از برداشت در جاده های پر از دست انداز مزرعه ای حمل شده تا بدست مصرف کننده برسد.

در هنگام تخلیه خطر برخورد میوه به میوه و همچین میوه با کانتیئر و سایر تجهیزات دسته بندی و بسته بندی وجود دارد. فرآیند حمل و نقل سبب از مراحل زیر تشکیل شده است:

(۱) انتقال سبب از سطل برداشت به جعبه های چوبی

(۲) انتقال بوسیله تراکتور در باغ بصورت فله ای جهت انبار کردن

(۳) انتقال به محل مزايدة

(۴) تخلیه جعبه

(۵) درجه بندی و دسته بندی

(۶) انتقال جهت سایر انواع بسته بندی (جعبه های کارتونی، چوب و پلاستیک)

(۷) انتقال بوسیله خریدار به مغازه

(۸) حمل و نقل توسط مصرف کننده

در طی این مراحل با توجه به چگونگی برخورد و نوع سطح برخورد می تواند سوراخ شدگی، بریدگی، کوفتگی و خراشیدگی در میوه اتفاق بیفت. کوفتگی اصلی ترین نوع صدمه پس از برداشت می باشد. در طی انتقال میوه ها علت بیشتر صدمات کوفتگی نیروهای دینامیکی هستند. زیرا این نیروها از نظر اندازه، شیوع و وقوع بیشتر از نیروهای استاتیکی هستند.

کوفتگی سبب می تواند منجر به افت بیشتر از ۵۰٪ گردد. گرچه این افت بسته به آگاهی مصرف کنندگان می تواند به ۱۰ تا ۲۵ درصد تقلیل یابد (وان زیبروک و همکاران، ۲۰۰۷a). علاوه بر این بعضی صدمات کوفتگی کوچک که در طی فرآیند درجه بندی قابل مشاهده نیستند بعدا قابل رویت شده و به افت بیشتر در مغازه های میوه فروشی منجر می گردند. مجموعه علل فوق الذکر باعث کاهش ماندگاری میوه ها می گردند.

صدمه کوفتگی یک صدمه داخلی بوده و تشخیص آن به مراتب مشکلتر از سایر انواع صدمات می‌باشد.
همچنین عوامل ایجاد کوفتگی نیز زیاد بوده و حذف کامل آنها مشکل است.

هدف از انجام این تحقیق را می‌توان بصورت زیر دسته بندی نمود:

- ۱) تخمین پارامترهای مدل نیروی برخورد سیب رقم گلدن دلیشر^۱
- ۲) تعیین مدل‌های آماری پیش‌بینی کوفتگی سیب با در نظر گرفتن خصوصیات فیزیکی و مکانیکی میوه
- ۳) مدل‌سازی کامپیوترا کوفتگی سیب گلدن دلیشر با استفاده از روش المان گستته
- ۴) تعیین میزان کوفتگی واقعی سیب در آزمایشگاه با استفاده از دستگاه لرزاننده و
- ۵) اعتبار سنجی مدل کامپیوترا از طریق مقایسه حجم کوفتگی سیب بین حالت واقعی و مدل‌سازی شده.

۱-۲- مکانیک ضربه (برخورد)

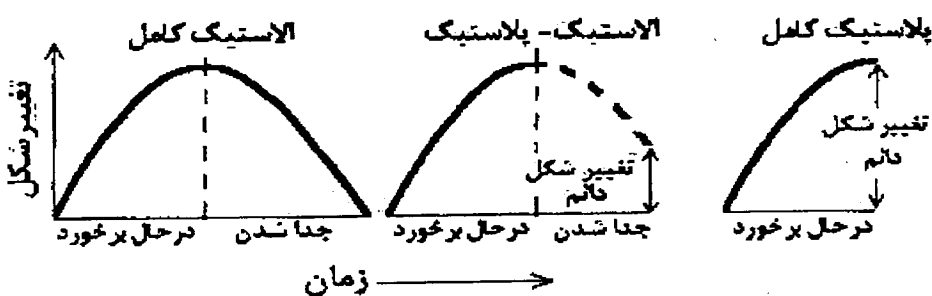
بین ضربه و بار گذاری سریع تفاوت وجود دارد. در واقع در هنگام ضربه دو جسم در مدت زمان بسیار کوتاه به یکدیگر برخورد کرده و از هم دور می‌شوند. بواسطه این پدیده امواج تنش در جسم ایجاد شده و از منطقه برخورد در جسم شروع به حرکت می‌کند. باید اشاره نمود که تا کنون هیچ نظریه عمومی در مورد ضربه ارائه نشده و مبنای مطالعات فعلی بر تئوری سنت ونانت^۲ در مورد انتشار موج و تئوری هرتز در مورد پدیده برخورد در اجسام الاستیک استوار است. نتایج آزمایشات مختلف نشان داده است که در برخورد دو جسم کروی الاستیک و سخت با سرعت اولیه کم تئوری هرتز صادق است. برای تحلیل تغییر شکل پلاستیک مواد نرم در سرعت برخورد زیاد لازم است تئوری‌های مناسب دیگری جایگزین گردد. با این وجود استفاده از تئوری هرتز در کنار سادگی نسبی آن در حل مسائل الاستیک، به دلیل تطابق خوب آن با نتایج حاصل از آزمایشات عملی عمومیت دارد.

پدیده ضربه در چهار فاز بصورت زیر اتفاق می‌افتد:

¹ - Golden Delicious

² - St. Venant

- ۱- تغییر شکل اولیه الاستیک که در آن منطقه تحت برخورد بصورت الاستیک تغییر شکل یافته و بدون هیچ نوع تغییر شکل دائم به حالت اولیه خود باز می‌گردد.
- ۲- آغاز تغییر شکل پلاستیک که در آن فشار متوسط از فشار تسلیم دینامیک بیشتر شده و نتیجه آن تغییر شکل الاستیک-پلاستیک است که بطور کامل قابل بازگشت نخواهد بود.
- ۳- تغییر شکل پلاستیک کامل که در آن تغییر شکل از حالت الاستیک-پلاستیک تا پلاستیک کامل یعنی تا زمانیکه فشار اعمالی به زیر فشار تسلیم دینامیک کاهش یابد ادامه پیدا می‌کند.
- ۴- جهش الاستیک که در آن تنש‌های الاستیک ذخیره شده در هر دو جسم آزاد می‌گردد.
- شكل ۱-۱ منحنی‌های تغییر شکل-زمان حاصل از تحلیل تقریبی چهار فاز برخورد را نشان می‌دهد که در آن بر زمان برخورد تاکید شده است. (محسنین ۱۹۷۸)



شكل ۱-۱- چهار مرحله برخورد بر اساس منحنی تغییر شکل-زمان

۱-۳- ضریب برجهندگی^۱

اگر دو جسم پس از برخورد روی یک امتداد حرکت کنند ضریب برجهندگی e را میتوان از رابطه

محاسبه نمود:

$$e = \frac{V_2 - V_1}{U_2 - U_1} \quad (1-1)$$

که در آن اندیس‌های ۱ و ۲ دلالت بر دو جسم برخورد کننده دارد و U و V به ترتیب معرف سرعت دو جسم بلافصله قبل و بعد از برخورد است. بر این اساس در یک برخورد کاملا الاستیک $e = 1$ و در یک

^۱ - Coefficient of restitution

برخورد کاملاً پلاستیک $e=0$ و نهایتاً برای یک برخورد غیر الاستیک $e < 1 < e_0$ می‌باشد. این ضریب را در یک آزمون سقوط آزاد می‌توان از رابطه ۲-۱ محاسبه نمود:

$$e = \left(\frac{h_r}{h_d} \right)^{1/2} \quad (2-1)$$

که در آن h_r و h_d به ترتیب عبارتند از ارتفاع جهش و ارتفاع سقوط جسم می‌باشد.

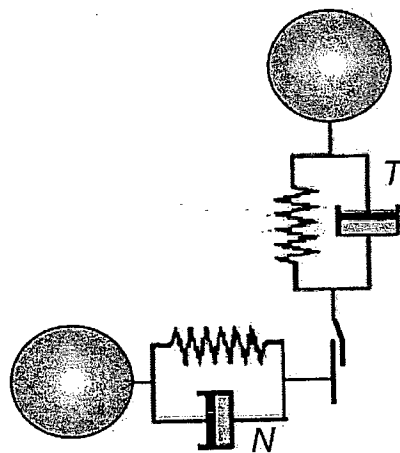
در عین حال باید ذکر نمود که بر اساس آزمایشات انجام شده ضریب برجهندگی مقداری ثابت نبوده و متناسب با سرعت برخورد می‌باشد. بنابراین اندازه‌گیری مستقیم ضریب برجهندگی که در عمل با مشکلاتی بویژه از لحاظ سخت افزاری در اندازه‌گیری سرعت لحظه‌ای برخورد همراه است، می‌توان این ضریب را با کمک معادله ۲-۱ و با اندازه‌گیری ارتفاع سقوط و بازگشت تعیین نمود. روش سقوط آزاد را می‌توان در مورد بعضی از میوه‌ها عملأ اجرا نمود. اما در مورد محصولات دانه‌ای بهترین روش استفاده از یک سامانه پاندول می‌باشد (باجما و هاید، ۱۹۹۸).

۱-۴-۱- مدل‌های نیروی برخورد

مدل‌سازی فیزیکی ضربه هم بر اساس تئوری الاستیک-پلاستیک و هم بر اساس تئوری ویسکوالاستیک می‌باشد. روش‌های تجزیه تنش در مواد مهندسی که تحت بارهای مرکب قرار دارند بخوبی توسعه یافته‌اند و مهندسان و دانشمندان علم مواد کوشیده‌اند تا با فرض ویسکوالاستیک یا الاستیک-پلاستیک بودن بافت میوه‌ها معادلات مختلف رئولوژیکی مواد را در مورد آنها بکار بزنند. برای توصیف یک برخورد داشتن مدل نیروی برخورد بین ذرات، ضروری است. مدل‌های نیروی برخورد کلید اصلی شبیه سازی به روش المان گسسته می‌باشند.

برای ترکیب ضربه فنر در مدل‌سازی عددی، مدل‌های مختلفی بر اساس نظریه مدل هوک که برای فنر خطی ساده کاربرد دارد و سایر مدل‌ها نظیر مدل تسوجی، تورنتن، کوابارو و کونو که تئوری نیروی غیر خطی را برای بدست آوردن مدل نیروی برخورد بکار برده‌اند، وجود دارد (تاناکا و همکاران، ۲۰۰۲ و راجی و فاویر، ۲۰۰۴a).

نیروهای برخورد، نیروهای نرمال (عمود بر سطح) و نیروهای مماسی (موازی با سطح) را شامل می‌شوند. برای شبیه سازی از مدلی استفاده می‌شود که در آن دو جزء فنر (نماد سفتی^۱) و داش پات (نماد مستهلك کننده^۲) در ترکیب موازی قرار دارند (شکل ۲-۱).



شکل ۲-۱- مدل سازی نیروهای نرمال (F_n) و مماسی (F_v) و مستهلك کننده در ترکیب موازی با هم برای نیروهای نرمال و مماسی قرار گرفته‌اند. در نیروی مماسی، فنر و مستهلك کننده با جزء اصطکاکی به صورت سری مدل شده است.

۱-۴-۱- مدل های نیروی برخورد نرمال

اساساً در مکانیک ضربه نیروهای ایجاد شده در اثر برخورد دو جسم به یکدیگر با توجه به ساختار ماده، به سه دسته نیروی الاستیک، نیروی ویسکوز و نیروی پلاستیک تقسیم می‌شوند. معادله عمومی نیرو به صورت زیر می‌باشد:

$$F_n = F_e + F_v + F_p \quad (3-1)$$

F_n : نیروی برخورد نرمال (N)

F_e : نیروی عامل تغییر شکل الاستیک

F_v : نیروی عامل تغییر شکل ویسکوز

¹ - Stiffness
² - Damping

$F_p = f(\delta, \dot{\delta})$: نیروی عامل تغییر شکل پلاستیک

δ : میزان نزدیک شدن مراکز دو جسم (کروی) به هم - تغییر شکل مرکب (m)

$\dot{\delta}$: آهنگ تغییر شکل (آهنگ جابجایی) (m/s)

ذیلا انواع مختلف مدل های نیروی برخورد نرمال مورد بحث قرار می گیرند:

۱-۱-۴-۱- مدل نیروی برخورد الاستیک

مدل الاستیک، ساده ترین مدل بوده و از قانون هوک تعیت می کند.

$$F_e = k\delta \quad (4-1)$$

k : پارامتر سفتی - بستگی به خواص فیزیکی مدل دارد (N/m)

این مدل، رابطه خطی بین نیرو و تغییر شکل را نشان می دهد. اما هرتز (به نقل از شافر و همکاران، ۱۹۹۶)، مدلی را ارائه داد که در آن رابطه غیر خطی بین نیرو و تغییر شکل حاکم است. نتایج نشان داد که این مدل، نیروی برخورد بین دو جسم کروی الاستیک را مطلوب‌تر مدل می کند.

$$F_e = k\delta^{\frac{3}{2}} \quad (5-1)$$

۱-۱-۴-۲- مدل نیروی برخورد ویسکوالاستیک (F_e, F_v)

ساده ترین مدل، برای بیان رفتار ویسکوز، قانون ویسکوز است که برای مایعات نیوتینی بکار می‌رود:

$$F_v = c\dot{\delta} \quad (6-1)$$

پارامتر مستهلک کننده (kg/s)

با ترکیب کردن این مدل با مدل نیروی الاستیک خطی، مدل کلوین یا همان ترکیب موازی فنر- دشپات ایجاد می‌شود.

$$F = k\delta + c\dot{\delta} \quad (7-1)$$

مدل کلوین اغلب برای مدل سازی حرکت ذرات استفاده می‌شود. ولی این مدل به دو دلیل، به خوبی نمی‌تواند رفتار واقعی ماده ویسکوالاستیک را تشریح کند. دلیل اول، مرتبط با ضریب برجهندگی است. با استفاده از این مدل، ضریب برجهندگی از رابطه زیر بدست می‌آید (پوشل و همکاران، ۲۰۰۳):

$$e = \exp \left[\frac{-\pi c}{2m_{eff}} \sqrt{\frac{k}{m_{eff}} - \left[\frac{c}{2m_{eff}} \right]^2} \right] \quad (8-1)$$

که در آن:

$$m_{eff} = \frac{m_i m_j}{m_i + m_j}$$

(kg) : جرم موثر m_{eff}

i/j : جرم ذرات $m_{i/j}$

همانطور که در معادله دیده می شود، مدل خطی منجر به حالتی می شود که ضریب برجهندگی مستقل از سرعت ضربه می باشد. آزمایشات فراوانی خلاف این حالت را اثبات نموده است (رامیرز و همکاران، ۱۹۹۹). کوابارا و کونو به نقل از وان زیبروک (۲۰۰۳)، ضریب برجهندگی را مطابق معادله زیر در نظر گرفتند:

$$e = 1 - f(v_i^{1/5}) \quad (9-1)$$

v_i : سرعت ضربه

پوشل و همکاران (۲۰۰۳)، ادعا کردند که مدل کلوین، تئوری مواد ویسکوز را نقض می کند. دلیل دوم را می توان چنین بیان کرد که نیروی برخورد در آغاز ضربه صفر نیست (نیروی ویسکوز به واسطه بیشینه سرعت، از بیشترین مقدار خود برخوردار است) که این حالت با واقعیت مطابقت ندارد (تسویجی و همکاران، ۱۹۹۳ و ژانگ و همکاران، ۱۹۹۸). بنابراین مدل های غیر خطی، توسط برخی از محققین پیشنهاد شده است. اولین مدل، مدل هانت و کراشلی (به نقل از شافر و همکاران ۱۹۹۶) می باشد.

$$F = k \delta^{\frac{3}{2}} + c \delta^{\frac{3}{2}} \dot{\delta} \quad (10-1)$$

رابطه نیروهای عامل الاستیک و ویسکوز هر دو با تغییر شکل غیر خطی است. در رابطه ۱۰-۱ با وارد کردن $\delta^{3/2}$ در جمله مربوط به نیروی عامل تغییر شکل ویسکوز نیروی برخورد در آغاز ضربه صفر خواهد شد. اتلاف انرژی در این مدل در مقایسه با انرژی الاستیک بسیار کم است (ضریب برجهندگی نزدیک به یک

است). این مدل بعداً توسط لنکرانی و نیک روش (۱۹۹۳)، اصلاح شد. آنها پارامتر مستهلك کننده (c) و ضریب برجهندگی را چنین محاسبه کردند:

$$c = \frac{3k(1-e^2)}{4\nu_i} \Rightarrow e = \sqrt{1 - \frac{4cv_i}{3k}} \quad (11-1)$$

همان طور که دیده می‌شود با افزایش سرعت ضربه، ضریب برجهندگی کاهش می‌یابد، که در عمل هم چنین است.

مدل‌های نیروی برخورد ویسکوالاستیک، بعداً توسط کوابارا و کونو (شافر و همکاران، ۱۹۹۶)، و همچنین بریلیاتوف و همکاران (۱۹۹۶a,b)، وارد مرحله جدیدتری شد. مدل‌های مذبور چنین تعریف می‌شوند:

$$F = k\delta^{\frac{3}{2}} + c\delta^{\frac{1}{2}} \dot{\delta} \quad (12-1)$$

پارامتر مستهلك کننده، برای دو جسم کروی با جنس یکسان با توجه به این مدل، به شرح زیر محاسبه می‌شود:

$$c = Ak$$

$$A = \frac{1}{3} \frac{(3\eta_2 - \eta_1)^2}{3\eta_2 + 2\eta_1} \frac{(1-\nu)(1-2\nu)}{E\nu^2} \quad (13-1)$$

A : پارامتر افت ماده (s)

E : مدول الاستیسیته (Pa)

ν : نسبت پویسن (بی بعد)

$(Pa.s)$: ویسکوزیته (η_1, η_2)

آنها ضریب برجهندگی را در این مدل چنین محاسبه کردند:

$$e = 1 - C_1 A K^{2/5} \nu_i^{1/5} + C_2 A^2 K^{4/5} \nu_i^{2/5}$$

$$K = (3/2)^{3/2} \frac{E \sqrt{R^*}}{m_{eff} (1 - \nu^2)} \quad (14-1)$$

v_i : سرعت ضربه (m/s)

C_1, C_2 : ثابت‌های تجربی

γ : ضریب پویسن

m_{eff} : جرم موثر (kg)

$$\frac{1}{R^*} = \frac{1}{R_1} + \frac{1}{R_2} \quad R^*: \text{شعاع موثر خمیدگی، که چنین تعریف می‌شود:}$$

$R_{1/2}$: شعاع کره‌ها (m)

تسوچی و همکاران (۱۹۹۳) مدل برخورد ویسکوالاستیک غیرخطی دیگری را بصورت زیر ارائه کردند:

$$F = k\delta^{\frac{3}{2}} + c\delta^{\frac{1}{4}}\dot{\delta} \quad (15-1)$$

که در آن:

F : نیروی برخورد نرمال (N)

k : پارامتر سفتی ($N/m^{3/2}$)

c : پارامتر مستهلك کننده ($kg \cdot m^{-1/4} \cdot s^{-1}$)

δ : میزان تغییر شکل (m)

$\dot{\delta}$: آهنگ تغییر شکل (m/s)

پارامتر مستهلك کننده بصورت زیر تعریف می‌شود:

$$c = \alpha m^{\frac{1}{2}} k^{\frac{1}{2}} \quad (16-1)$$

که در آن: α ثابت تجربی

m : جرم موثر (kg)

k : پارامتر سفتی ($N/m^{3/2}$)

از معایب این مدل آن است که پارامتر α باقیستی بصورت تجربی تعیین شود. در این مدل فرض بر

ایشت که ضریب برجهندگی مستقل از سرعت برخورد بوده که این امر نیز چندان واقع بینانه بنظر نمی‌رسد.

۱-۴-۳- مدل نیروی برخورد الاستیک-پلاستیک ($F_e; F_p$)

والتون و براون (به نقل از شافر و همکاران، ۱۹۹۶)، مدل برخورد الاستیک-پلاستیک خطی را ارائه دادند. آنها دو پارامتر سفتی (ثابت فنر)، k_1 و k_2 را برای بارگذاری و بار برداری در نظر گرفتند.

$$F = \begin{cases} k_1\delta \rightarrow loading \\ k_2(\delta - \delta_c) \rightarrow unloading \end{cases} \quad (17-1)$$

δ : تغییر شکل دائم ایجاد شده در ماده

ضریب برجهندگی در این مدل از رابطه $e = \sqrt{k_1/k_2}$ محاسبه می‌شود که مستقل از سرعت ضربه است.

ولی این مدل در مورد مواد ویسکوالاستیک صادق نیست. شافر و همکاران (۱۹۹۶) پیشنهاد کردند که k_2 تابعی از بیشینه نیروی ایجاد شده در مرحله بارگذاری باشد ($k_2 = k_1 + sF_{max}$) و ضریب برجهندگی را چنین محاسبه کردند:

$$e = \frac{1}{\sqrt{sv_i \left(\frac{m_{eff}}{k_1} \right)^2 + 1}} \quad (18-1)$$

δ : ثابت تجربی

همانطور که دیده می‌شود ضریب برجهندگی با افزایش سرعت ضربه کاهش می‌یابد.

مدل نیروی برخورد الاستیک-پلاستیک غیر خطی، توسط محققین مختلفی ارائه شده است (تورنتن و نینگ، ۱۹۹۸ و میشرا، ۲۰۰۳a,b). این مدل در سه فاز مورد بررسی قرار گرفته است:

فاز اول بارگذاری - این فاز معروف به الاستیک کامل است، که از قانون هرتز تبعیت می‌کند و در آن

هیچ نوع تغییر شکل پلاستیک رخ نمی‌دهد:

$$F = \frac{4}{3} E^* (R^*)^{\frac{1}{2}} \delta^{\frac{3}{2}} \quad (19-1)$$

E^* : مدول الاستیسیته معادل، که چنین تعریف می‌شود:

$$\frac{1}{E^*} = \frac{1}{E_1} + \frac{1}{E_2}$$

$E_{1/2}$: مدول الاستیسیته دو جسم (Pa)

فاز دوم بارگذاری - نیرو فراتر از تنش تسلیم ماده بوده و تغییر شکل پلاستیک اتفاق می‌افتد:

$$F = F_y + \pi P_y R^* (\delta - \delta_y) \quad (20-1)$$

F_y : نیروی بحرانی (نیرویی که منجر به آغاز تغییر شکل دائم می‌گردد)

P_y : فشار بحرانی (سطح تماس نیروی بحرانی)

δ_y : تغییر شکل دائم (میزان تغییر شکل در F_y)

فاز باربرداری - اگر تغییر شکل دائم اتفاق بیفتند، شعاع انحنای سطح بزرگتر از شعاع انحنای اولیه (شعاع

خمیدگی) می‌گردد ($R_p^* R^*$)

$$F = \frac{4}{3} E^* (R_p^*)^{\frac{1}{2}} (\delta - \delta_p)^{\frac{3}{2}}$$

$$\frac{1}{E^*} = \frac{1}{E_1} + \frac{1}{E_2} \quad (21-1)$$

$$R_p^* = \frac{4E^*}{3F^*} \left(\frac{2F^* + F_y}{2\pi P_y} \right)^{\frac{3}{2}}$$

F^* : بیشینه نیرو در طول فاز بارگذاری (N)

δ_p : تغییر شکل پایدار

R_p^* : شعاع موثر خمیدگی در اجسام کروی تغییر شکل داده شده

تورنتن و نینگ (۱۹۹۸) همچنین سرعت ضربه بحرانی (سرعتی که در آن تغییر شکل پلاستیک آغاز

می‌شود) را به شرح زیر برای مواد تعریف کردند:

$$v_y = \left(\frac{\pi}{2E^*} \right)^2 \left(\frac{8\pi R^{*3}}{15m_{eff}} \right)^{\frac{1}{2}} P_y^{5/2} \quad (22-1)$$

v_y : سرعت ضربه بحرانی (m/s)

ژانگ و وو-کوک (۲۰۰۰) از مدل تورنتن برای مدل‌سازی نیروی برخورد نرمال استفاده کردند.